

## СПЕКТР И ФУНКЦИИ ВОЗБУЖДЕНИЯ НЕКОТОРЫХ ПОЛОС $J_2$

*И. А. Заяц и С. М. Кишко*

Зарегистрирован спектр излучения  $J_2$  в видимой и ультрафиолетовой областях. Для ультрафиолетовых полос получены функции возбуждения.

Из-за сильных взаимодействий иода с окружающей средой и особенно с оксидным катодом до сих пор выполнено лишь несколько работ по изучению его спектра в условиях газового разряда [1]. Однако для определения таких величин, как длительность возбужденных состояний, относительные и абсолютные сечения возбуждения полос  $J_2$ , которые могут быть использованы квантовой электроникой в различных целях, но до сих пор еще не определены, методика упомянутых работ не может быть применена. Для этих измерений в случае  $J_2$  нельзя применять также трубку возбуждения, описанную в [2].

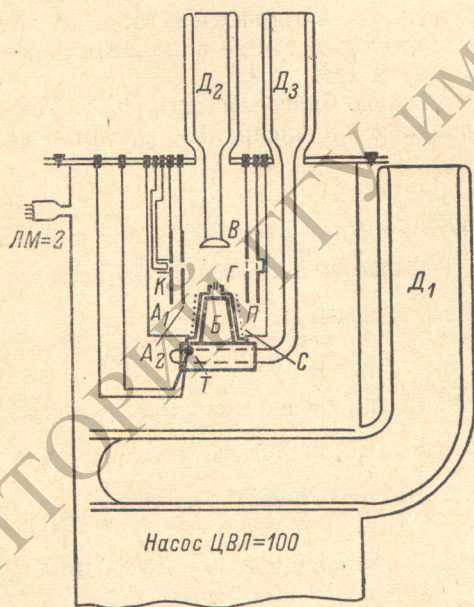


Рис. 1. Схема трубки возбуждения.

изготовлен из нержавеющей стали, приведена на рис. 1. Через вакуумный вентиль и ловушку  $D_1$ , охлаждаемую жидким азотом, трубка присоединялась непосредственно к высоковакуумному насосу. В трубке создавался вакуум порядка  $10^{-5}$  мм рт. ст. На корпусе трубки имеются кварцевое окошко для вывода из нее возбужденного излучения и 10 электрических вводов.

Источником пучка молекул  $J_2$  является стальная трубочка  $B$ , внутри которой имеется капсула с очищенным иодом. Для заполнения капсулы использовали иод, полученный плавлением химически чистого иода под серной кислотой [3]. Из капсулы молекулы  $J_2$  попадают для возбуждения в пространство столкновений через формирующую систему  $G$ , состоящую

Схема изготовленной нами трубы возбуждения, корпус которой

изготовлен из нержавеющей стали, приведена на рис. 1. Через вакуумный

вентиль и ловушку  $D_1$ , охлаждаемую жидким азотом, трубка присоединялась непосредственно к высоковакуумному насосу. В трубке создавался вакуум порядка  $10^{-5}$  мм рт. ст. На корпусе трубки имеются кварцевое

окошко для вывода из нее возбужденного излучения и 10 электрических вводов.

Источником пучка молекул  $J_2$  является стальная трубочка  $B$ , внутри которой имеется капсула с очищенным иодом. Для заполнения капсулы использовали иод, полученный плавлением химически чистого иода под серной кислотой [3]. Из капсулы молекулы  $J_2$  попадают для возбуждения в пространство столкновений через формирующую систему  $G$ , состоящую

из большого количества каналов прямоугольного сечения. Учитывая интенсивную сублимацию иода в вакууме при комнатной температуре во время подготовки трубы возбуждения, капсулу с иодом необходимо было охлаждать, что достигалось с помощью дьюара  $D_3$ , охлаждаемого жидким азотом. Для получения молекулярного пучка охлаждение иода прекращалось и трубочки  $B$  с капсулой нагревалась электрической печью  $C$ ,

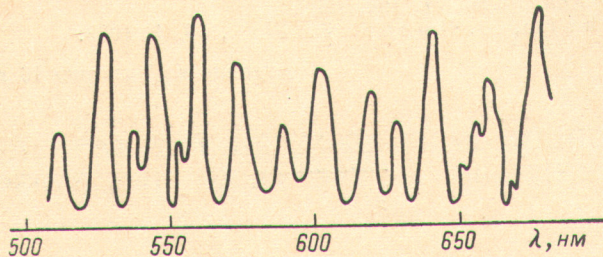


Рис. 2. Спектр  $J_2$  в зелено-красной области.

намотанной на наружной поверхности трубочки и формирующей системы. Нами получен молекулярный пучок, концентрация частиц в котором в широком интервале температур изменялась линейно. В нашем случае при  $50^\circ\text{C}$  интенсивность молекулярного пучка  $J_2$  была  $2.8 \cdot 10^{16}$  мод./ $\text{см}^2 \cdot \text{сек}$ . Пройдя пространство столкновений, пары иода конденсировались на ловушке  $B$ , охлаждаемой жидким азотом из дьюара  $D_2$ .

Источником перекрестного электрического пучка, которым возбуждались молекулы  $J_2$ , был оксидный эквипотенциальный катод  $K$ . Формирование электронного пучка осуществлялось электродной системой, состоящей из двух анодов  $A_1$  и  $A_2$  с круглыми отверстиями посередине и приемника  $P$  электронов, а для управления пучком использовалась электрическая схема, описанная в [4]. Монокинетичность электронного пучка была менее 1 эв, а его плотность порядка  $10^{-3}$  а/см. В описанной трубке при наличии пучка молекул  $J_2$  оксидный катод длительное время работал без изменения своих эмиссионных свойств и монокинетичности.

Излучение возбужденных молекул с помощью конденсатора направлялось на входную щель монохроматора СД-7 и регистрировалось системой, состоящей из ФЭУ-79, ФЭУ-18 и усилителя постоянного тока.

При вышеуказанных условиях исследован спектр  $J_2$ , возбужденный электронным пучком с энергией 50 эв. Полосы спектра принадлежат переходу  $B^3\Pi_{ou}^+ \rightarrow X'\Sigma_g^+$  и расположены в зелено-красной области (рис. 2). Отождествление спектра по [5, 6] подтвердило чистоту исследуемого объекта.

Для трех интенсивных ультрафиолетовых полос  $J_2$  получены их функции возбуждения. Они приведены на рис. 3. Функции возбуждения для всех трех полос начинаются при 2 в, ускоряющие электроны потенциала, и имеют острый максимум при 6 в. При дальнейшем увеличении ускоряющего потенциала функция возбуждения сначала быстро, затем медленно спадает. Однаковый ход функций возбуждения для всех трех полос подтверждает, что все они принадлежат к одной и той же ультрафиолетовой системе.

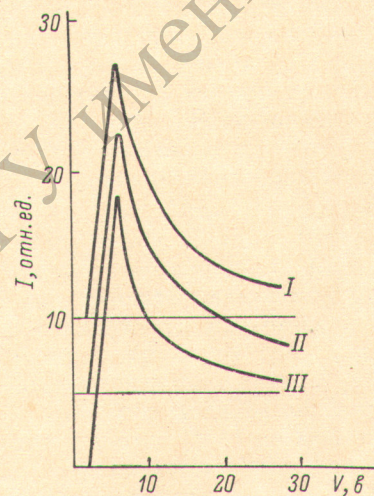


Рис. 3. Функции возбуждения  $J_2$  для полос — 310.8 (I), 269.0 (II), —272.3 нм (III).

Литература

- [1] Р. Пирс, А. Гейдон. Отождествление молекулярных спектров. ИЛ, М., 1949.
- [2] И. П. Запесочный. Вестн. ЛГУ, № 11, 67, 1954.
- [3] В. И. Ксензенко, А. С. Стасеневич. Технология брома и иода. М., 1960.
- [4] С. М. Кишко. Опт. и спектр., 8, 181, 1960.
- [5] R. Mecke. Ann. Phys., 71, 104, 1923.
- [6] P. Ringsheim, B. Rosen. Zs. Phys., 50, 1, 1928.

Поступило в Редакцию 16 января 1971 г.